

[Planches]

Objektyp: **Chapter**

Zeitschrift: **Bulletin de la Société Vaudoise des Sciences Naturelles**

Band (Jahr): **20 (1884-1885)**

Heft 90

PDF erstellt am: **20.09.2024**

Nutzungsbedingungen

Die ETH-Bibliothek ist Anbieterin der digitalisierten Zeitschriften. Sie besitzt keine Urheberrechte an den Inhalten der Zeitschriften. Die Rechte liegen in der Regel bei den Herausgebern.

Die auf der Plattform e-periodica veröffentlichten Dokumente stehen für nicht-kommerzielle Zwecke in Lehre und Forschung sowie für die private Nutzung frei zur Verfügung. Einzelne Dateien oder Ausdrucke aus diesem Angebot können zusammen mit diesen Nutzungsbedingungen und den korrekten Herkunftsbezeichnungen weitergegeben werden.

Das Veröffentlichen von Bildern in Print- und Online-Publikationen ist nur mit vorheriger Genehmigung der Rechteinhaber erlaubt. Die systematische Speicherung von Teilen des elektronischen Angebots auf anderen Servern bedarf ebenfalls des schriftlichen Einverständnisses der Rechteinhaber.

Haftungsausschluss

Alle Angaben erfolgen ohne Gewähr für Vollständigkeit oder Richtigkeit. Es wird keine Haftung übernommen für Schäden durch die Verwendung von Informationen aus diesem Online-Angebot oder durch das Fehlen von Informationen. Dies gilt auch für Inhalte Dritter, die über dieses Angebot zugänglich sind.

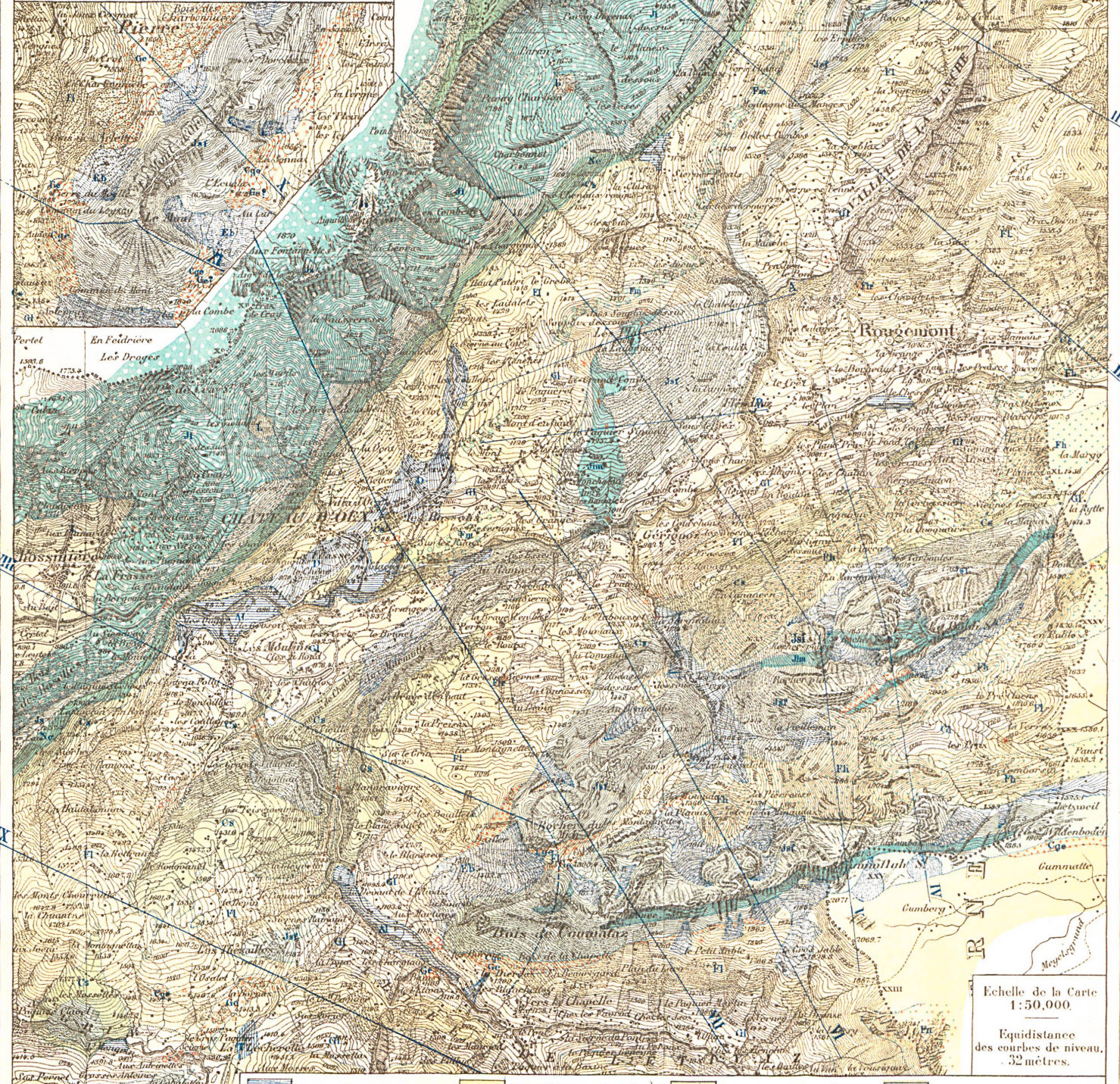
CARTE GÉOLOGIQUE

1881-1883.

DU PAYS D'ENHAUT VAUDOIS

PAR

HANS SCHARDT

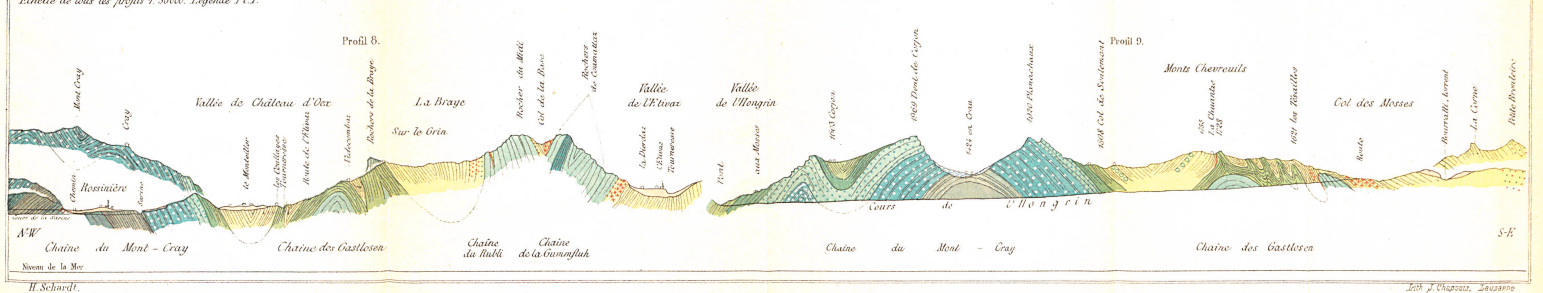
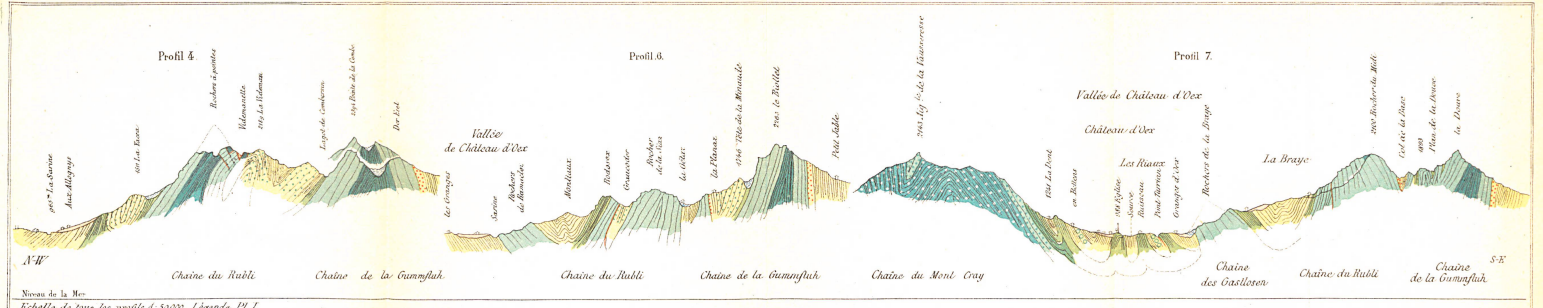


Echelle de la Carte
1:50,000.

Equidistance
des courbes de niveau,
32 mètres.

Al	Alluvions (graviers, sables, argiles, etc)	Fl	Flysch (Schistes, grès, etc)	Cs	Crétacé supérieur (rouges)	L	Lias (Infér. et sup.)
D	Cônes de déjection	Fr	Schistes rouges	Ne	Néocomien	Cgt	Cornegoule (Trias ??)
Ed	Cônes d'éboulement, éboulis	Fm	Poudingue calcaire (Mocasin gestein)	Js	Malm à Chailles siliceuses	Q	Source
M	Marais	Fb	Brèche calcaire (Hornfluh gestein)	Ji	Dogger à Zoophycos	▲	Bloc erratique
T	Tourbe	Fu	Grès et conglomérats polygéniques du Niesen	Jsf	Malm, calcaire massif (fétide)	*	Gisement fossifère
Gl	Terrains glaciaires	Ge	Gypse et anhydrite éocènes	Jim	Couches à Mytilus, Dogger	—	Ligne de contact mécanique
		Cge	Cornegoule et dolomie éocènes				

Report sur pierre de la feuille IX de la carte topographique du Canton de Vaud avec autorisation du Département militaire vaudois du 26 Mars 1883.



Niveau de la Mer. Echelle de tous les profils 1:50000. Légende P.I.

H. Schardt.

Ed. J. Chapuis, Lausanne.

Replats et contournements du Flysch sur la paroi Est de la haute de Bas Cimet (Chaussey)

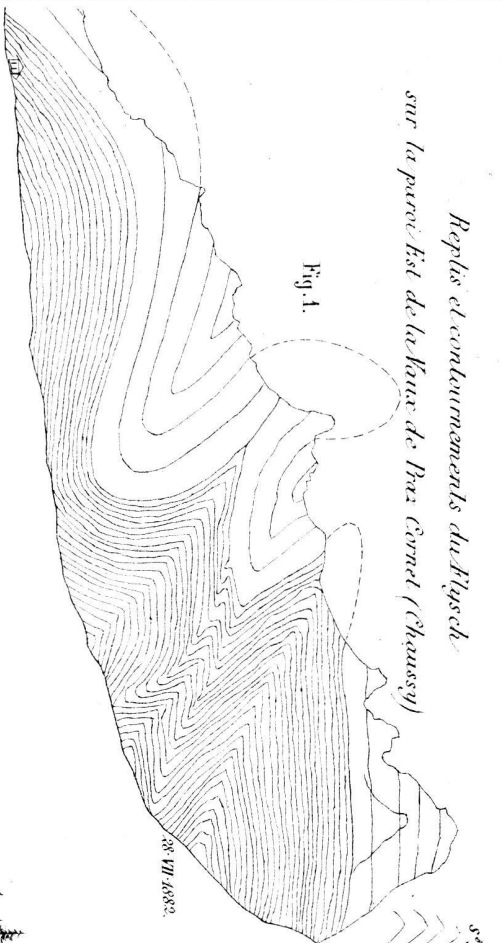


Fig. 1.

Endroits dans le Jura à la Leichenette (val des Messes)

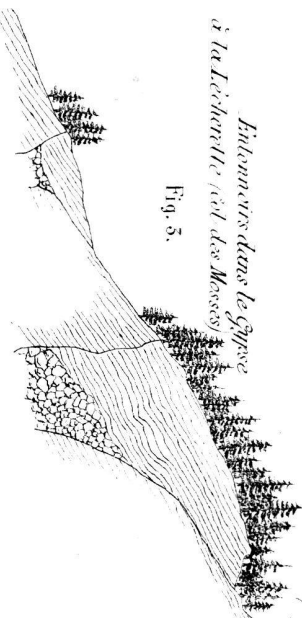


Fig. 5.

Formation des vallées transversales par érosion fluviale. (Figure idéale)

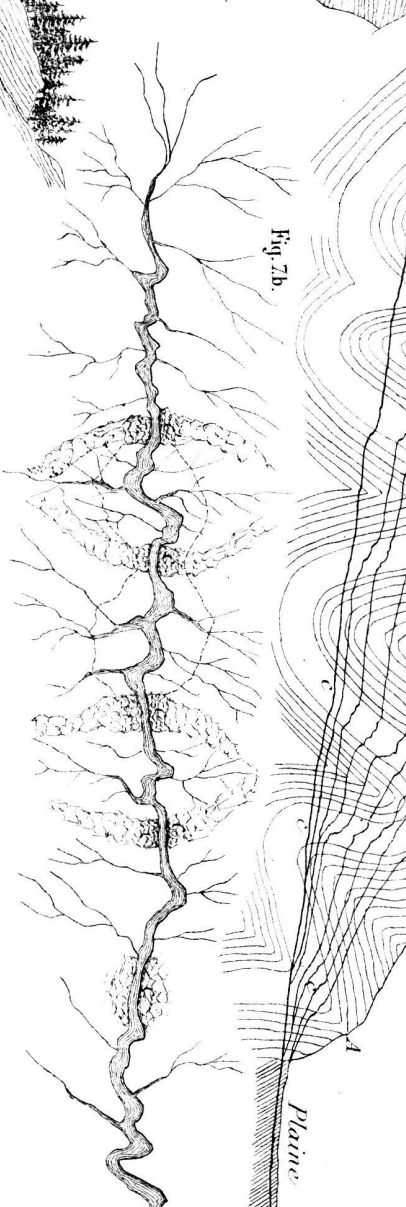


Fig. 7a.

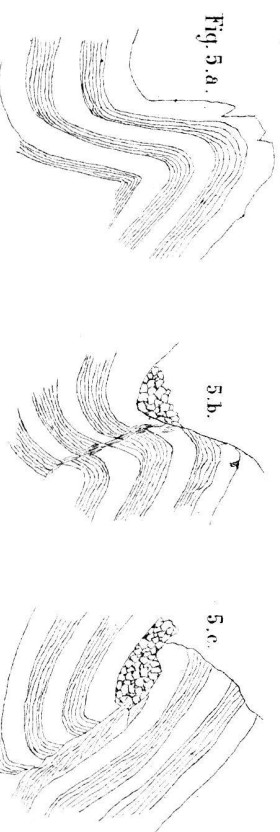


Fig. 5.a.

5.b.

5.c.

Hommis de Bas Cimet (Flysch de Chaussey)

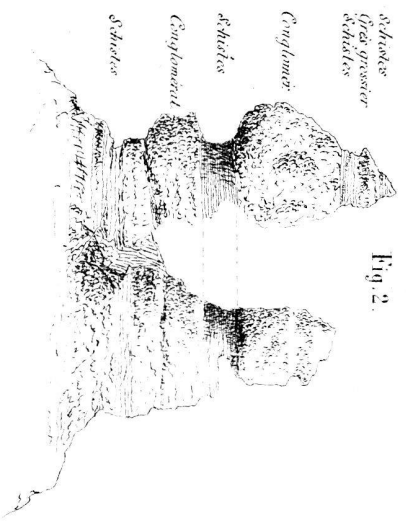


Fig. 2.

Chevauchements anticlinaux.



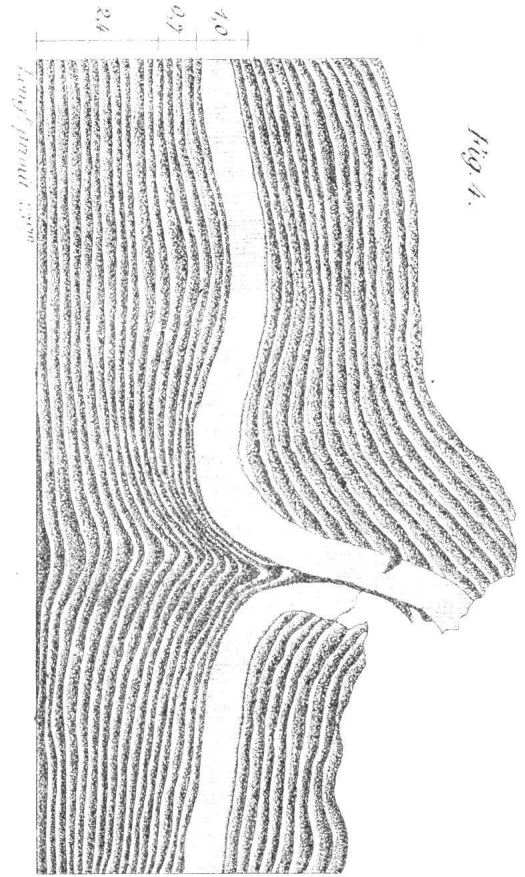
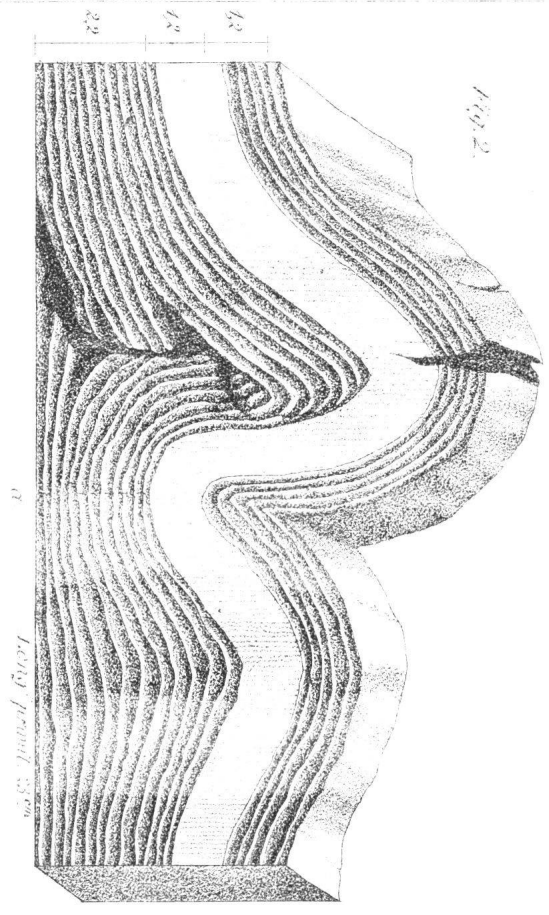
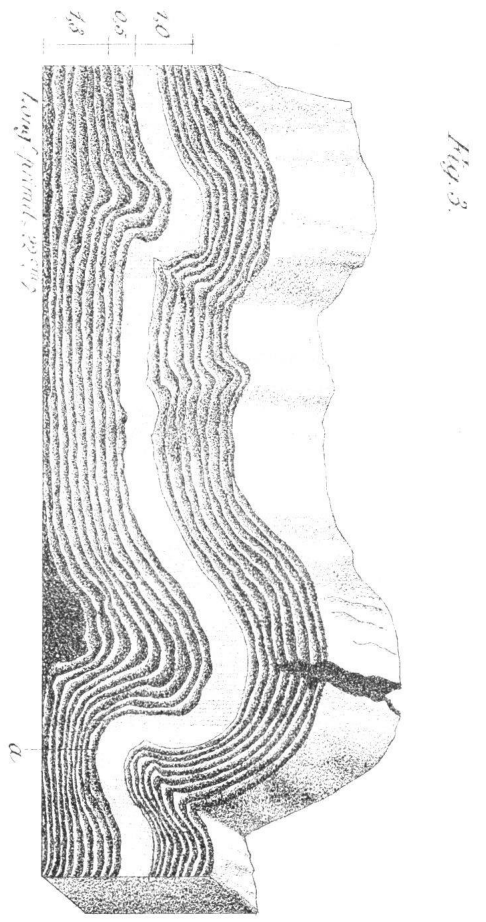
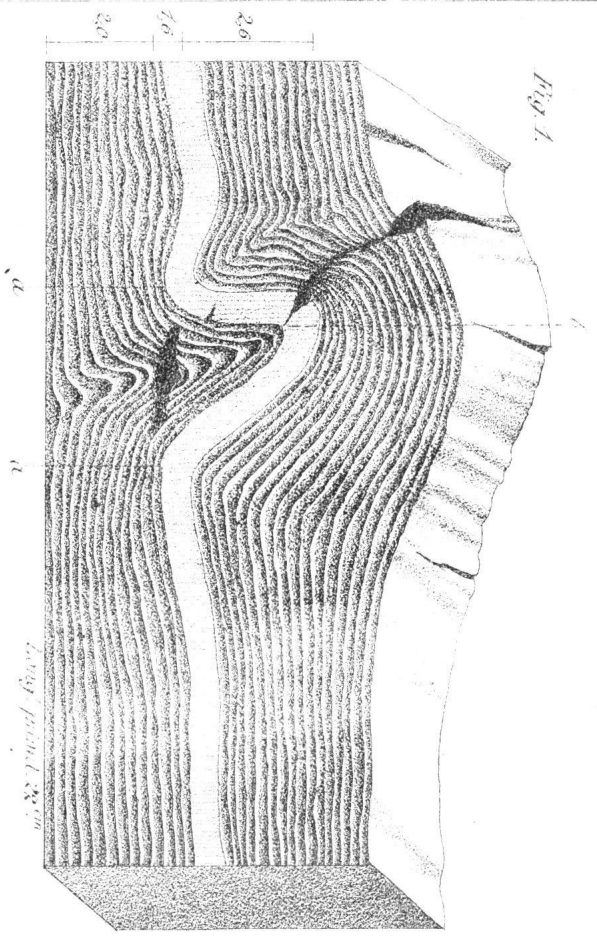
6.a.

6.b.

6.c.

Faïlle (Paratasse)

Fig. 4.



Echelle proportionnelle aux $\frac{2}{3}$ de la grandeur réelle.



 Masse molle, mélange d'argile et de limon, striée horizontalement à la surface

 Argile pure à divers degrés de durcissement.

Fig. 5a.

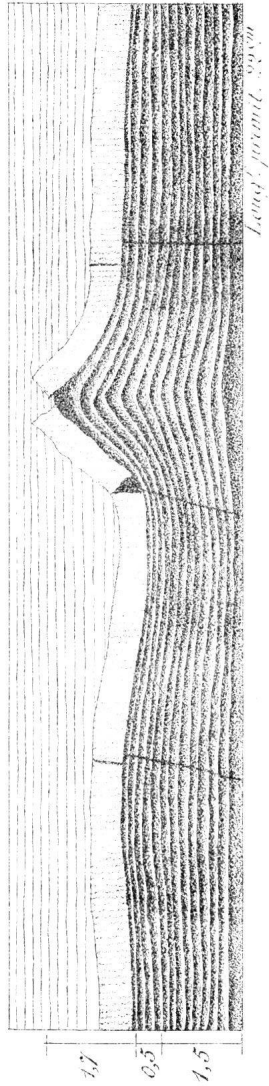


Fig. 5b.

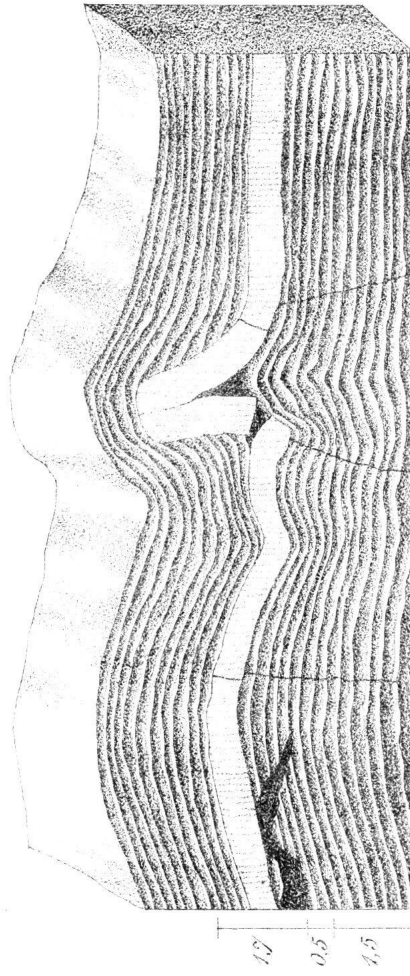


Fig. 6.

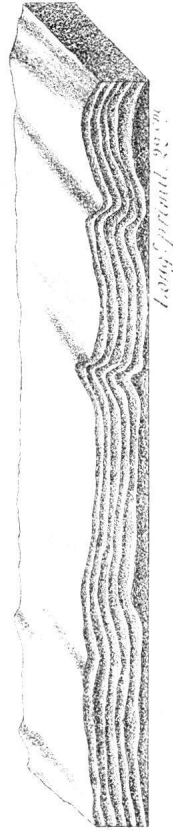


Fig. 7a.

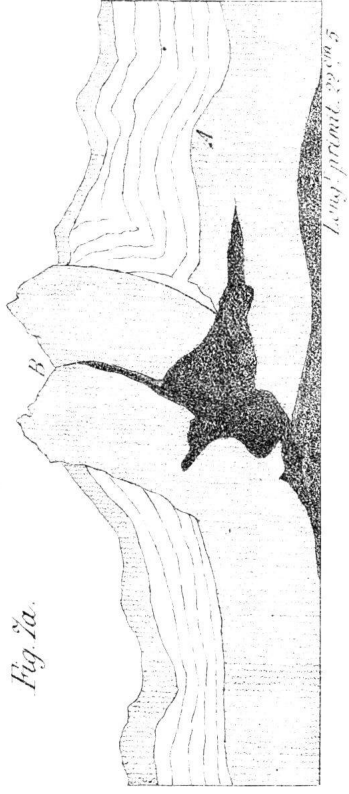


Fig. 7b.

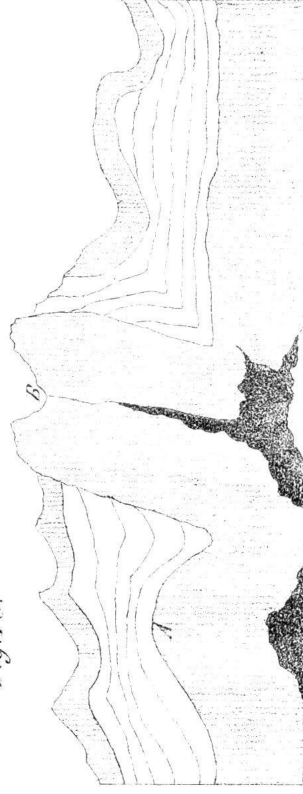


Fig. 8.

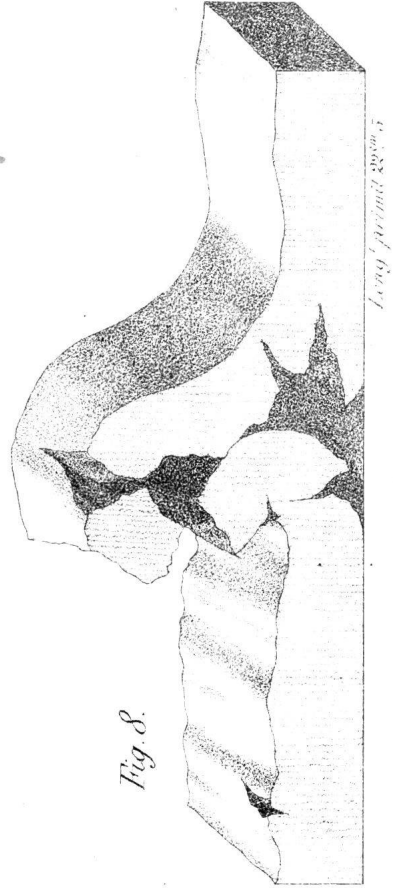


Fig. 9.

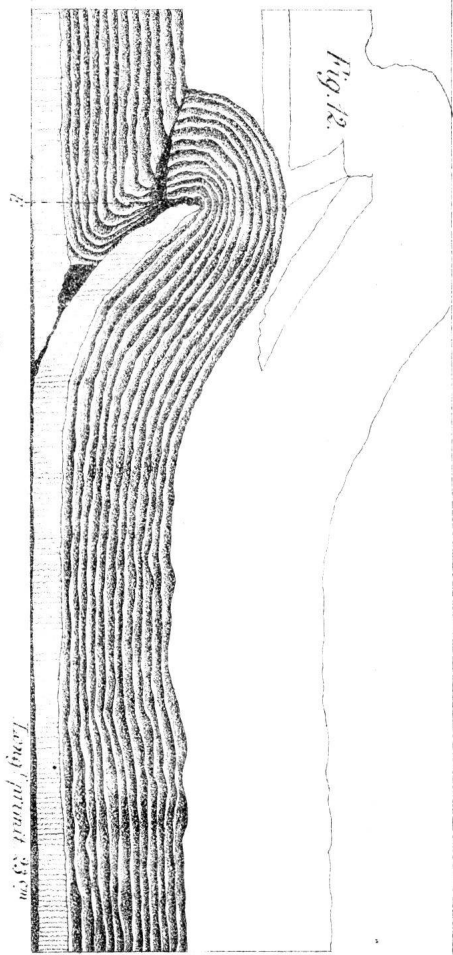
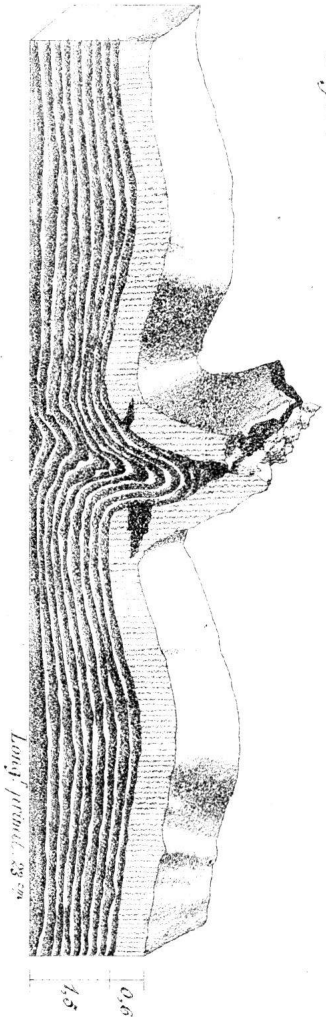


Fig. 10.

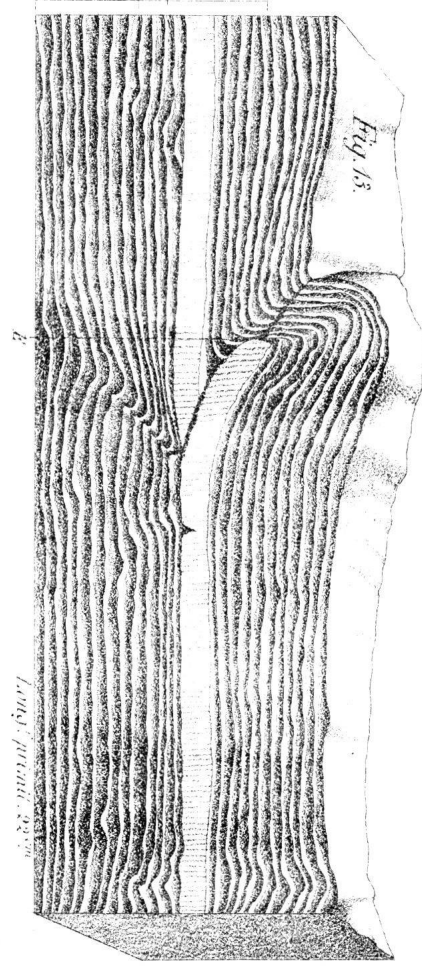
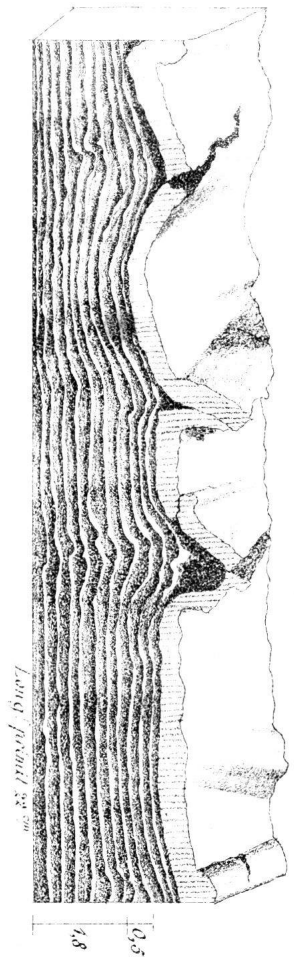


Fig. 11.

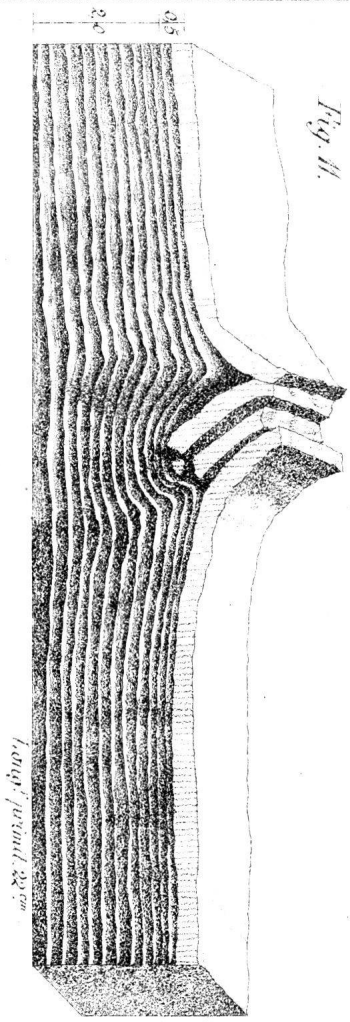


Fig. 14.

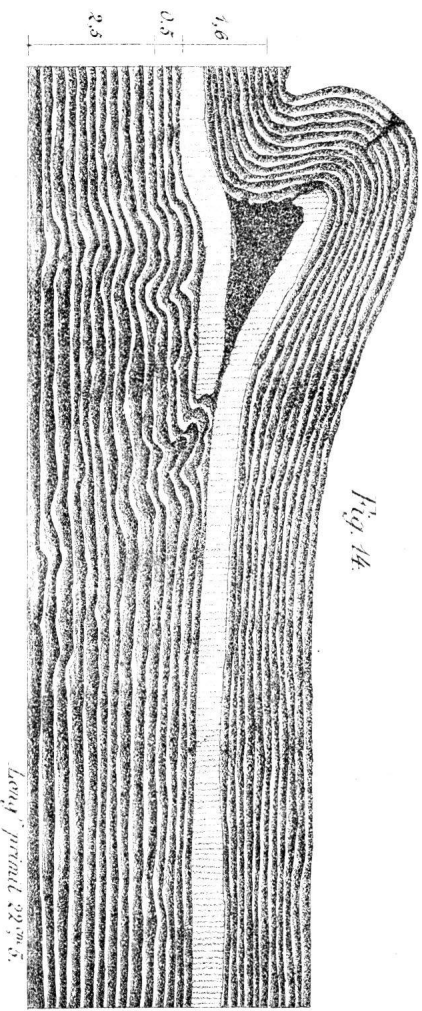


Fig. 15.

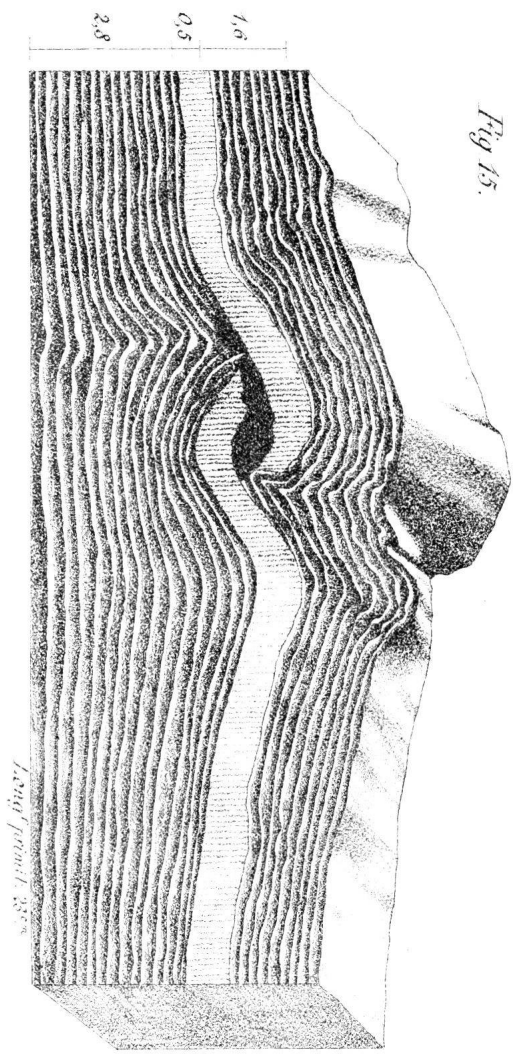


Fig. 17.

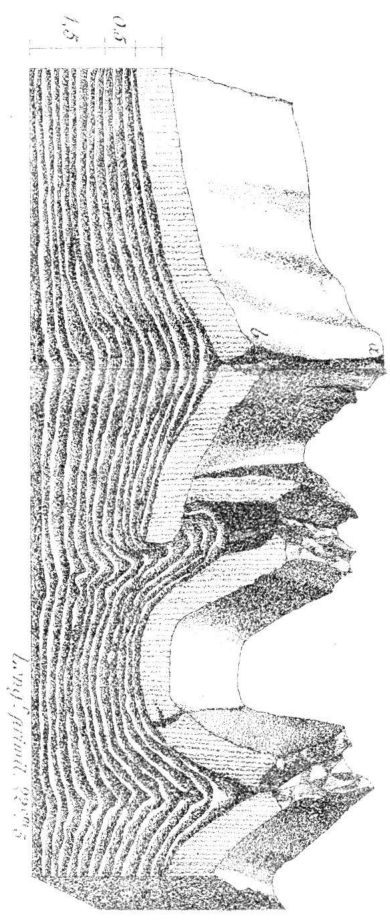


Fig. 16.

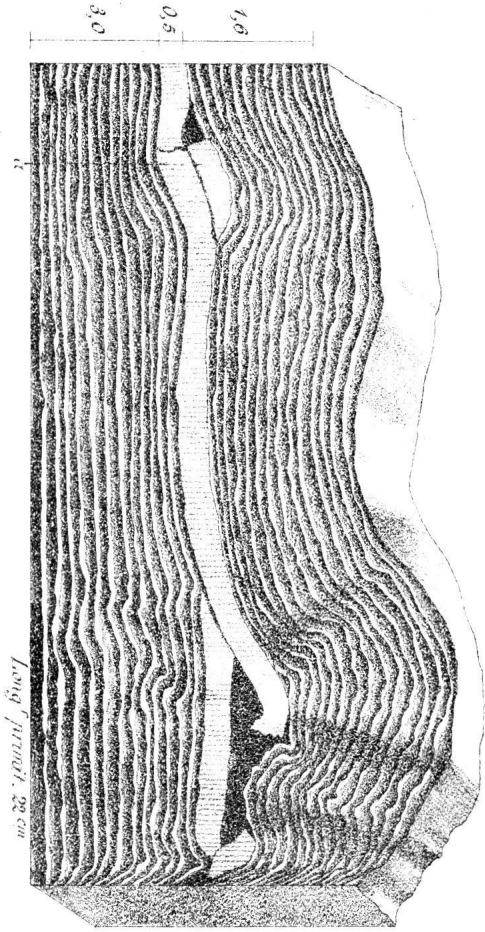
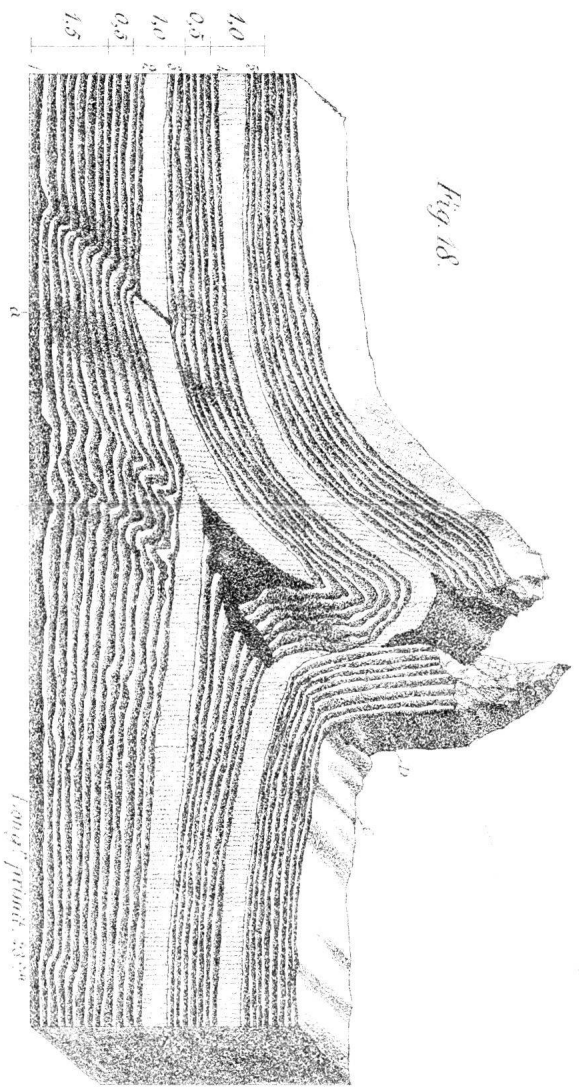


Fig. 18.



Observations sur les planches.

Pl. I. L'impression topographique de la carte n'est pas très nette, le report sur pierre ayant dû être tiré avant l'aciérage de la plaque gravée originale.

La partie ajoutée en dessous du titre fait suite au Mont-d'Or à l'angle S.-W., à gauche en bas.

Par suite d'une inadvertance, l'équidistance des courbes de niveau est indiquée comme étant de 32 mètres, tandis qu'elle est de 16 mètres seulement.

Les lignes bleues indiquent le tracé des profils; les chiffres romains (I-XI) qui les accompagnent, correspondent aux profils 1-11, pl. II, III et IV.

Pl. II, III et IV. L'échelle des profils 1 à 12 est la même que celle de la carte, ainsi que la légende des couleurs qui est la même pour toutes les figures, sauf les exceptions suivantes :

Dans prof. 8, pl. III, et 13, pl. IV, le *lias inférieur* (Sinémurien) est indiqué par du *lilas foncé*, teinte qui ne se trouve pas sur la carte où le lias inférieur n'est pas séparé du lias supérieur par une teinte spéciale.

Dans prof. 5, à droite, le gypse et la corneille du Col du Pillon, et dans prof. 13, pl. IV, le gypse et l'anhydrite de Bex sont désignés par la même teinte que les terrains de cette nature d'âge éocène bien défini. D'après ce qui est dit dans le texte, il n'y a pas d'obstacle à l'emploi de la même couleur pour ces deux terrains, qui, s'ils ne sont pas exactement du même âge, se correspondent au moins en partie.

Dans prof. 1, pl. II, le lithographe a omis d'indiquer le crétacé supérieur (vert pâle), entre le néocomien de l'arête de la Goueyraz et le flysch du col de la Hochmatt.

Dans prof. 12, le mot *lias* à droite se trouve trop près du bleu foncé qui indique les *couches à Mytilus* que je supposai là et que M. Pittier a reconnues réellement en cet endroit.

Les fig. 14 à 19, pl. IV, ne sont pas faites à une échelle déterminée; les couleurs sont les mêmes que celles de la carte et des autres profils. Dans fig. 14 il y a entre le néocomien et le malm une traînée vert-pâle, ce qui ne doit pas être.

Dans pl. VI à IX, sont figurées des expériences sur la compression de couches d'argile. Ces figures sont faites d'après mes dessins originaux réduits au moyen du pantographe aux $\frac{2}{3}$ de leur grandeur.

La longueur des couches d'argile *avant* la compression est indiquée en dessous de chaque figure. Les chiffres et l'échelle placés à côté indiquent l'épaisseur de chaque couche *avant* la compression. Les variations de la longueur et de l'épaisseur *après* la compression peuvent facilement être vérifiées au moyen de l'échelle proportionnelle, pl. VI. Cette même échelle peut servir à reconnaître le déplacement intérieur des couches d'argile molle, d'après les stries qui y furent tracées à égale distance avant la compression et dont il y avait 6 par centimètre.

